PHILIPS DG 7-36

High sensitive CATHODE RAY TUBE for oscillography
TUBE A RAYONS CATHODIQUES à haute sensibilité pour oscillographie
KATODENSTRAHLRÖHRE mit grosser Empfindlichkeit für Oszillographie

Screen Ecran Schirm	Fluorescence Fluorescence Fluoreszenz	green verte grün
	Persistence Persistance Nachleuchtdauer	medium moyenne mittel

Heating : indirect by A.C. or D.C. parallel supply
Chauffage: indirect par C.A. ou C.C. alimentation parallèle
Heizung : indirekt durch Wechsel- oder Gleichstrom; Parallelspeisung

V_f = 6,3 V
I_f = 300 mA

Dimensions in mm
Dimensions en mm
Abmessungen in mm

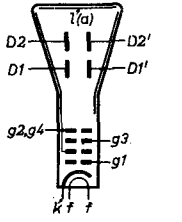

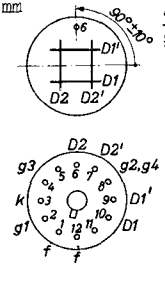

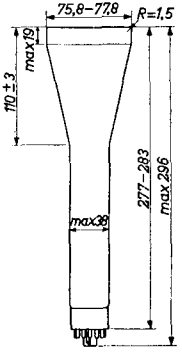

Base, culot, Sockel: DUODECAL 12-p

Net weight
Poids net
Nettogewicht 370 g

Focusing : electrostatic
Concentration: électrostatique
Fokussierung : elektrostatisch

PHILIPS DG 7-36

High sensitive CATHODE RAY TUBE for oscillography
TUBE A RAYONS CATHODIQUES à haute sensibilité pour oscillographie
KATODENSTRAHLRÖHRE mit grosser Empfindlichkeit für Oszillographie

Screen	Fluorescence	green
Ecran	Fluorescence	verte
Schirm	Fluoreszenz	grün
	Persistence	medium
	Persistance	moyenne
	Nachleuchtdauer	mittel

Heating : indirect by A.C. or D.C. parallel supply
Chauffage: indirect par C.A. ou C.C. alimentation parallèle
Heizung : indirekt durch Wechsel- oder Gleichstrom; Parallelspeisung

V_f = 6,3 V
I_f = 300 mA

Dimensions in mm
Dimensions en mm
Abmessungen in mm

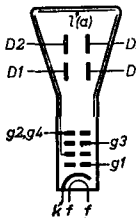

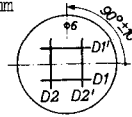

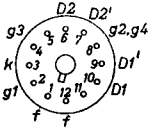

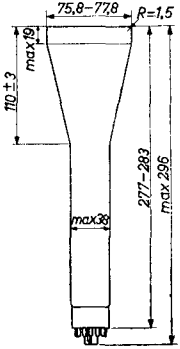

Base, culot, Sockel: DUODECAL 12-p

Net weight
Poids net 370 g
Nettogewicht

Focusing : electrostatic
Concentration: électrostatique
Fokussierung : elektrostatisch

PHILIPS

DB 7-36
DG 7-36

High sensitive CATHODE RAY TUBE for oscilloscopes
TUBE A RAYONS CATHODIQUES à haute sensibilité pour oscilloscopes
KATODENSTRAHLRÖHRE grosser Empfindlichkeit für Oszilloskope

		DB 7-36	DG 7-36
Screen	Fluorescence	blue	green
Ecran	Fluorescence	bleu	verte
Schirm	Fluoreszenz	blau	grün
	Persistence	short	medium
	Persistance	courte	moyenne
	Nachleuchtdauer	kurz	mittel

Heating : indirect by A.C. or D.C. parallel supply
Chauffage: indirect par C.A. ou C.C. alimentation parallèle
Heizung: indirekt durch Wechsel- oder Gleichstrom; Parallelspeisung

V_f = 6,3 V
I_f = 300 mA

Dimensions in mm
Dimensions en mm
Abmessungen in mm

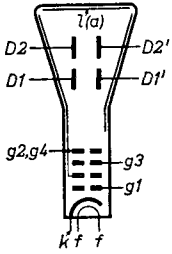

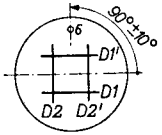

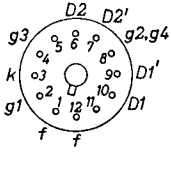

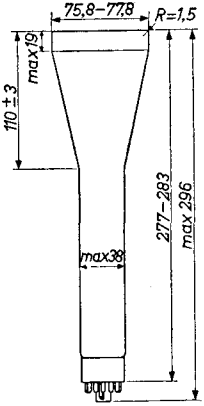

Base, culot, Sockel: DUODECAL 12-p

Net weight
Poids net 370 g
Nettogewicht

Focusing : Electrostatic
Concentration: Electrostatique
Fokussierung : Elektrostatisch

PHILIPS

DB7-36
DG7-36
DN7-36

CATHODE RAY TUBE for oscilloscopes with flat face and high sensitivity

SCREEN

For screen properties please refer to front of this section

HEATING

Indirect by A.C. or D.C.; parallel supply

Heater voltage	V_f = 6.3 V
Heater current	I_f = 0.3 A

Dimensions in mm

Base: DUODECAL 12 p.

Net weight 370 g

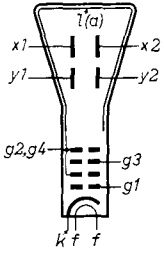

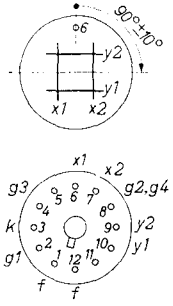

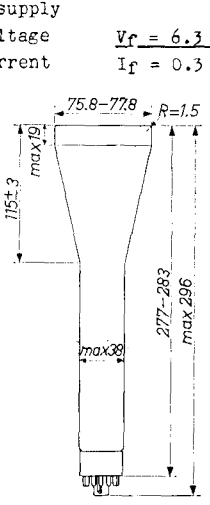

CAPACITANCES

Grid No. 1 to all other electrodes	C_{g1}	= 5.7 pF
Cathode to all other electrodes	C_k	= 3.3 pF
x_1 plate to all other electrodes except x_2 plate	C_{x1}	= 6.0 pF
x_2 plate to all other electrodes except x_1 plate	C_{x2}	= 6.0 pF
y_1 plate to all other electrodes except y_2 plate	C_{y1}	= 4.7 pF
y_2 plate to all other electrodes except y_1 plate	C_{y2}	= 4.7 pF
x_1 plate to x_2 plate	C_{x1-x2}	= 1.9 pF
y_1 plate to y_2 plate	C_{y1-y2}	= 1.7 pF

Deflection: double electrostatic — $D_1 D_1'$ symmetr.
Déviation : electrostatique double — $D_2 D_2'$ symmetr.
Ablenkung : doppelelektrostatisch

Angle between $D_1 D_1'$ and $D_2 D_2'$ traces
Angle entre les traces de $D_1 D_1'$ et $D_2 D_2'$ — $90^\circ \pm 1^\circ$
Winkel zwischen den Linien von $D_1 D_1'$ und $D_2 D_2'$

Capacitances
Capacités
Kapazitäten

C_{g_1}	= 6,6 ± 1.0 pF [1]	$C_{D_1 D_1'}$	= 2.0 ± 0,3 pF
C_k	= 4.0 ± 0,6 pF [1]	$C_{D_2 D_2'}$	= 2,6 ± 0,4 pF
C_{D_1}	= 5.8 ± 0,9 pF [2]	$C_{D_1 D_1' - D_2 D_2'}$	= 0,3 ± 0,1 pF
$C_{D_1'}$	= 5.8 ± 0,9 pF [2]	$C_{g_1 - D_1 D_1' D_2 D_2'}$	= 0,2 ± 0,1 pF
C_{D_2}	= 6.0 ± 0,9 pF [2]	$C_{k - D_1 D_1' D_2 D_2'}$	= 0,55 ± 0,15 pF
$C_{D_2'}$	= 6,0 ± 0,9 pF [2]		

Line width
Epaisseur de la ligne — ($V_{(g_2+g_4)}$ = 1500 V ; I_k = 0,5 μA) — 0,4 mm [3]
Linienbreite

Operating characteristics
Caractéristiques d'utilisation
Betriebsdaten

$V_{(g_2+g_4)}$	= 1500	V
V_{g_3}	= 247 - 397	V [4]
$-V_{g_1}$	= 40 - 80	V
N_1	= 0,49 - 0,59	mm/V
N_2	= 0,33 - 0,41	mm/V

Useful scan — ($D_1 D_1'$) min. 57 mm [5]
Gamme d'exploration utile — ($D_2 D_2'$) min. 68 mm [6]
Nützlicher Abtastungsbereich

Variation of the linearity of deflection
Variation de la linéarité de déflection — max. 2 % [7]
Linearitätsschwankung der Ablenkung

Pattern distortion
Distorsion de mire — [8]
Bildverzerrung

Spot position (undeflected)
Situation du spot (sans déviation) — [9]
Lage des Lichtpunktes (nicht abgelenkt)

[1]..... [7] See page 4: voir page 4: siehe Seite 4
[8] [9] See page 5: voir page 5: siehe Seite 5

Deflection: double electrostatic — $D_1 D_1'$ symmetr.
Déviation : electrostatique double — $D_2 D_2'$ symmetr.
Ablenkung : doppelelektrostatisch

Angle between $D_1 D_1'$ and $D_2 D_2'$ traces
Angle entre les traces de $D_1 D_1'$ et $D_2 D_2'$ — $90^\circ \pm 1^\circ$
Winkel zwischen den Linien von $D_1 D_1'$ und $D_2 D_2'$

Capacitances
Capacités
Kapazitäten

C_{g_1}	= 6,6 ± 1.0 pF[1]	$C_{D_1 D_1'}$	= 2.0 ± 0,3 pF
C_k	= 4,0 ± 0,6 pF[1]	$C_{D_2 D_2'}$	= 2,6 ± 0,4 pF
C_{D_1}	= 5,8 ± 0,9 pF[2]	$C_{D_1 D_1' - D_2 D_2'}$	= 0,3 ± 0,1 pF
$C_{D_1'}$	= 5.8 ± 0,9 pF[2]	$C_{g_1 - D_1 D_1' D_2 D_2'}$	= 0,2 ± 0,1 pF
C_{D_2}	= 6,0 ± 0,9 pF[2]	$C_{k - D_1 D_1' D_2 D_2'}$	= 0,55 ± 0,15 pF
$C_{D_2'}$	= 6,0 ± 0,9 pF[2]		

Line width
Epaisseur de la ligne — ($V_{(g_2+g_4)}$ = 1500 V) (I_g = 0,5 μA) — 0,4 mm[3]
Linienbreite

Operating characteristics
Caractéristiques d'utilisation
Betriebsdaten

$V_{(g_2+g_4)}$	= 1500	V
V_{g_3}	= 247 - 397	V[4]
$-V_{g_1}$	= 40 - 80	V
N_1	= 0,49 - 0,59	mm/V
N_2	= 0,33 - 0,41	mm/V

Useful scan — $(D_1 D_1')$ min. 57 mm[5]
Gamme d'exploration utile — $(D_2 D_2')$ min. 68 mm[6]
Nützlicher Abtastungsbereich

Variation of the linearity of deflection
Variation de la linéarité de déflection — max. 2 % [7]
Linearitätsschwankung der Ablenkung

Pattern distortion
Distorsion de mire — [8]
Bildverzerrung

Spot position (undeflected)
Situation du spot (sans déviation) — [9]
Lage des Lichtpunktes (nicht abgelenkt)

[1]).... [7]) See page 4: voir page 4: siehe Seite 4
[8]) [9]) See page 5: voir page 5: siehe Seite 5

PHILIPS

Deflection: double electrostatic
Déviation : électrostatique double
Ablenkung : doppelelektrostatisch

D_1D_1' symmetr.
D_2D_2' symmetr.

Angle between D_1D_1' and D_2D_2' traces
Angle entre les traces de D_1D_1' et D_2D_2'
Winkel zwischen den Linien von D_1D_1' und D_2D_2' — $90^\circ \pm 1^\circ$

Capacitances
Capacités
Kapazitäten

C_{g1} = 5,7 pF [1]		C_{D2} = 6,0 pF [2]	
C_k = 3,3 pF [1]		$C_{D2'}$ = 6,0 pF [2]	
C_{D1} = 4,7 pF [2]		$C_{D1D1'}$ = 1,7 pF	
$C_{D1'}$ = 4,7 pF [2]		$C_{D2D2'}$ = 1,9 pF	

Line width
Epaisseur de la ligne
Linienbreite

($V_{g2,g4}$ = 1500 V)
(I_ℓ = 0,5 μA)

0,4 mm [3]

Operating characteristics
Caractéristiques d'utilisation
Betriebsdaten

$V_{g2,g4}$	=	1500 V
V_{g3}	=	247 - 397 V [4]
$-V_{g1}$	=	40 - 80 V
N_1	=	0,49 -0,59 mm/V
N_2	=	0,33 -0,41 mm/V

Useful scan
Gamme d'exploration utile
Nützlicher Abtastungsbereich

(D_1D_1') min. 57 mm [5]
(D_2D_2') min. 68 mm [6]

Variation of the linearity of deflection
Variation de la linéarité de déflection
Linearitätsschwankung der Ablenkung

max. 2 % [7]

Pattern distortion
Distorsion de mire
Bildverzerrung

[8]

Spot position (undeflected)
Situation du spot (sans déviation)
Lage des Lichtpunktes (nicht abgelenkt)

[9]

---

[1]....[7] See page 4; voir page 4; siehe Seite 4

[8][9] See page 5; voir page 5; siehe Seite 5

FOCUSING Electrostatic

For optimum focus the average potentials of the deflection plates and grids No.2 and 4 should be equal

DEFLECTION Double electrostatic

Both x and y plates for symmetrical operation

Angle between x and y traces $90^{\circ} \pm 1^{\circ}$

LINE WIDTH measured on a circle of 50 mm diameter

Grids No.2 and 4 voltage	$V_{g2,g4}$	= 1500 V
Beam current	I_{ℓ}	= 0.5 μA
Line width		= 0.4 mm

UNDEFLECTED SPOT POSITION. With the tube shielded the spot will be within a circle of 4 mm radius, the circle being centered with respect to the tube face

OPERATING CHARACTERISTICS

Grids No.2 and 4 voltage		$V_{g2,g4}$	= 1500 V
Grid No.3 voltage		V_{g3}	= 247-397 V 1)
Negative grid No.1 voltage for visual extinction of focused spot		$-V_{g1}$	= 40-80 V
Deflection factor	x plates	M_x	= 24.5-30.0 V/cm
	y plates	M_y	= 17.0-20.5 V/cm
Useful scan	x plates		= min. 68 mm
	y plates		= min. 57 mm

Deviation of the linearity of deflection. The sensitivity of the deflection plates at a deflection smaller than 75 % of the useful scan will not differ from the sensitivity at a deflection of 25 % of the useful scan by more than 2 %

Pattern distortion. The length of the edges of a raster pattern, whose mean dimensions are smaller than 75 % of the useful scan will not deviate from these mean dimensions by more than 2.5 %

1) For calculation of the grid No.3 voltage potentiometer a grid No.3 current of min. -15 μA and max. +10 μA must be taken into account

Limiting values (design centre values)
Caractéristiques limites (valeurs moyennes de développement)
Grenzdaten (mittlere Entwicklungsdaten)

$V_{(g_2+g_4)}$	= max.	2500 V
$V_{(g_2+g_4)}$	= min.	1000 V
V_{g_3}	= max.	1000 V [4]
$-V_{g_1}$	= max.	200 V
$+V_{g_1}$	= max.	0 V
$+V_{g_1\,p}$	= max.	2 V
$V_{D-(g_2+g_4)p}$	= max.	500 V [10]
V_{kf}	= max.	180 V
W_{ℓ}	= max.	3 mW/cm²
$W_{(g_2+g_4)}$	= max.	6 W

Circuit design values
Valeurs de développement du montage
Entwicklungsdaten der Schaltung

	V_{g_3}	= 165 - 265 V	Per kV of $V_{(g_2+g_4)}$
	$-V_{g_1}$	= 27 - 53 V	Par kV de $V_{(g_2+g_4)}$
Deflection factor	(D_1D_1')	= 11,2 - 13,7 V/cm	Pro kV von $V_{(g_2+g_4)}$
Facteur de déviation	(D_2D_2')	= 16,2 - 20,0 V/cm	
Ablenkungsfaktor			
	R_{g_1}	= max. 1,5 MΩ	
	R_D	= max. 5 MΩ [11]	

[4] See page 4; voir page 4; siehe Seite 4

[10] For optimum focus the average potentials of the deflection plates and grid 2 and 4 should be equal

Afin d'obtenir un foyer optimum les potentials moyens des plaques de déflection et des grilles 2 et 4 devront être égaux

Zur Erhaltung eines optimalen Fokus sollen die mittleren Potentiale der Ablenkplatten und der Gitter 2 und 4 gleich sein

[11] The deflection plate resistances should be approx.equal
Les résistances des plaques de déviation seront approx. égales
Die Widerstände der Ablenkplatten sollen ungefähr gleich sein

Limiting values (design centre values)
Caractéristiques limites (valeurs moyennes de développement)
Grenzdaten (mittlere Entwicklungsdaten)

$V_{(g_2+g_4)}$	= max.	2500 V
$V_{(g_2+g_4)}$	= min.	1000 V
V_{g_3}	= max.	1000 V [4]
$-V_{g_1}$	= max.	200 V
$+V_{g_1}$	= max.	0 V
$+V_{g_1\,p}$	= max.	2 V
$V_{D-(g_2+g_4)p}$	= max.	500 V [10]
V_{kf}	= max.	180 V
W_l	= max.	3 mW/cm²
$W_{(g_2+g_4)}$	= max.	6 W

Circuit design values
Valeurs de développement du montage
Entwicklungsdaten der Schaltung

	V_{g_3}	= 165 - 265 V	Per kV of $V_{(g_2+g_4)}$
	$-V_{g_1}$	= 27 - 53 V	Par kV de $V_{(g_2+g_4)}$
Deflection factor Facteur de déviation Ablenkungsfaktor	(D_1D_1')	= 11,2 - 13,7 V/cm	Pro kV von $V_{(g_2+g_4)}$
	(D_2D_2')	= 16,2 - 20,0 V/cm	
	R_{g_1}	= max. 1,5 MΩ	
	R_D	= max. 5 MΩ [11]	

[4] See page 4; voir page 4; siehe Seite 4

[10] For optimum focus the average potentials of the deflection plates and grid 2 and 4 should be equal

Afin d'obtenir un foyer optimum les potentials moyens des plaques de déflection et des grilles 2 et 4 devront être égaux

Zur Erhaltung eines optimalen Fokus sollen die mittleren Potentiale der Ablenkplatten und der Gitter 2 und 4 gleich sein

[11] The deflection plate resistances should be approx.equal
Les résistances des plaques de déviation seront approx. égales
Die Widerstände der Ablenkplatten sollen ungefähr gleich sein

Limiting values (design centre values)
Caractéristiques limites (valeurs moyennes de développement)
Grenzdaten (mittlere Entwicklungsdaten)

$V_{(g_2+g_4)}$	= max.	2500 V
$V_{(g_2+g_4)}$	= min.	1000 V
V_{g_3}	= max.	1000 V [4]
$-V_{g_1}$	= max.	200 V
$+V_{g_1}$	= max.	0 V
$+V_{g_1 p}$	= max.	2 V
$V_{D-(g_2+g_4)p}$	= max.	500 V [10]
V_{kf}	= max.	180 V
W_l	= max.	3 mW/cm²
$W_{(g_2+g_4)}$	= max.	6 W

Circuit design values
Valeurs de développement du montage
Entwicklungsdaten der Schaltung

Deflection factor / Facteur de déviation / Ablenkungsfaktor

V_{g_3}	= 165 - 265 V	Per kV of $V'_{(g_2+g_4)}$ / Par kV de $V'_{(g_2+g_4)}$ / Pro kV von $V'_{(g_2+g_4)}$
$-V_{g_1}$	= 27 - 53 V	
$(D_1 D_1')$	= 11,2 - 13,7 V/cm	
$(D_2 D_2')$	= 16,2 - 20,0 V/cm	

R_{g_1}	= max.	1,5 MΩ
R_D	= max.	5 MΩ [11]

[4] See page 4; voir page 4; siehe Seite 4

[10] For optimum focus the average potentials of the deflection plates and grid 2 and 4 should be equal

Afin d'obtenir un foyer optimum les potentials moyens des plaques de déflection et des grilles 2 et 4 devront être égaux

Zur Erhaltung eines optimalen Fokus sollen die mittleren Potentiale der Ablenkplatten und der Gitter 2 und 4 gleich sein

[11] The deflection plate resistances should be approx. equal
Les résistances des plaques de déviation seront approx. égales
Die Widerstände der Ablenkplatten sollen ungefähr gleich sein

LIMITING VALUES (Design centre limits)

Grids No.2 and 4 voltage	$V_{g2,g4}$	= max. 2500 V = min. 1000 V
Grid No.3 voltage	V_{g3}	= max. 1000 V
Grid No.1 voltage		
Negative value	$-V_{g1}$	= max. 200 V
Positive value	$+V_{g1}$	= max. 0 V
Peak positive value	$+V_{g1\ p}$	= max. 2 V
Peak voltage between grids No.2 and 4 and any deflection plate	$V_{x-g2,g4\ p}$	= max. 500 V
	$V_{y-g2,g4\ p}$	= max. 500 V
Voltage between heater and cathode	V_{kf}	= max. 180 V
Grids No.2 and 4 dissipation	$W_{g2,g4}$	= max. 6 W
Screen dissipation	W_{ℓ}	= max. 3 mW/cm²

CIRCUIT DESIGN VALUES

Grid No.3 voltage	V_{g3}	= 165-265 V	per kV of $V_{g2,g4}$
Negative grid No.1 voltage for visual extinction of focused spot	$-V_{g1}$	= 27-53 V	per kV of $V_{g2,g4}$
Deflection factor x plates	M_x	= 16.3-20.0 V/cm	per kV of $V_{g2,g4}$
Deflection factor y plates	M_y	= 11.2-13.7 V/cm	per kV of $V_{g2,g4}$
Grid No.1 circuit resistance	R_{g1}	= max. 1.5 MΩ	
Deflection plate resistance	$R_x = R_y$	= max. 5 MΩ	

The deflection plate resistances should be approximately equal

[1] To all electrodes
Par rapport aux autres électrodes
Gegen alle Elektroden

[2] To all electrodes, except the opposite deviation plate
Par rapport aux autres électrodes, excepté la plaque de déviation opposée
Gegen alle Elektroden, mit Ausnahme der Gegen-Ablenkplatte

[3] Measured on a circle of 50 mm diameter
Mesuré sur un cercle d'un diamètre de 50 mm
Gemessen auf einem Kreis von 50 mm Durchmesser

[4] For calculation of the grid 3 potentiometer a grid 3 current of min. -15 µA and max. +10 µA must be taken into account

Pour le calcul du potentiomètre de la grille 3 il faut tenir compte d'un courant de la grille 3 de -15 µA au minimum et de +10 µA au maximum

Zur Berechnung des Spannungsteilers von Gitter 3 muss einem Strom von min.-15 µA und max. +10 µA Rechnung getragen werden

[5] Min.28.5 mm at both sides from the tube face centre
28,5 mm au minimum des deux côtés du centre de l'écran du tube
Min.28,5 mm an beiden Seiten vom Schirmmittelpunkt

[6] Min. 34 mm at both sides from the tube face centre
34 mm au minimum des deux côtés du centre de l'écran du tube
Min.34 mm an beiden Seiten vom Schirmmittelpunkt

[7] The sensitivity of the deflection plates for a deflection < 75% of the useful scan will not differ from the sensitivity for a deflection of 25% of the useful scan by more than ± 2%

La sensibilité des plaques de déviation pour une déviation < 75% de la gamme d'exploration utile ne différera pas de la sensibilité pour une déviation de 25% de la gamme d'exploration utile de plus de ± 2%

Die Empfindlichkeit der Ablenkplatten für eine Ablenkung < 75% des nützlichen Abtastungsbereich wird von der Empfindlichkeit für eine Ablenkung von 25% des nützlichen Abtastungsbereichs nicht mehr abweichen als ± 2%

[1] To all electrodes
Par rapport aux autres électrodes
Gegen alle Elektroden

[2] To all electrodes, except the opposite deviation plate
Par rapport aux autres électrodes, excepté la plaque de déviation opposée
Gegen alle Elektroden, mit Ausnahme der Gegen-Ablenkplatte

[3] Measured on a circle of 50 mm diameter
Mesuré sur un cercle d'un diamètre de 50 mm
Gemessen auf einem Kreis von 50 mm Durchmesser

[4] For calculation of the grid 3 potentiometer a grid 3 current of min. -15 µA and max. +10 µA must be taken into account

Pour le calcul du potentiomètre de la grille 3 il faut tenir compte d'un courant de la grille 3 de -15 µA au minimum et de +10 µA au maximum

Zur Berechnung des Spannungsteilers von Gitter 3 muss einem Strom von min.-15 µA und max. +10 µA Rechnung getragen werden

[5] Min.28.5 mm at both sides from the tube face centre
28,5 mm au minimum des deux côtés du centre de l'écran du tube
Min.28,5 mm an beiden Seiten vom Schirmmittelpunkt

[6] Min. 34 mm at both sides from the tube face centre
34 mm au minimum des deux côtés du centre de l'écran du tube
Min.34 mm an beiden Seiten vom Schirmmittelpunkt

[7] The sensitivity of the deflection plates for a deflection < 75% of the useful scan will not differ from the sensitivity for a deflection of 25% of the useful scan by more than ± 2%

La sensibilité des plaques de déviation pour une déviation < 75% de la gamme d'exploration utile ne différera pas de la sensibilité pour une déviation de 25% de la gamme d'exploration utile de plus de ± 2%

Die Empfindlichkeit der Ablenkplatten für eine Ablenkung < 75% des nützlichen Abtastungsbereich wird von der Empfindlichkeit für eine Ablenkung von 25% des nützlichen Abtastungsbereichs nicht mehr abweichen als ± 2%

PHILIPS

1) To all electrodes
Par rapport aux autres électrodes
Gegen alle Elektroden

2) To all electrodes, except the opposite deviation plate
Par rapport aux autres électrodes, excepté la plaque de déviation opposée
Gegen alle Elektroden, mit Ausnahme der Gegen-Ablenkplatte

3) Measured on a circle of 50 mm diameter
Mesuré sur un cercle d'un diamètre de 50 mm
Gemessen auf einem Kreis von 50 mm Durchmesser

4) For calculation of the grid 3 potentiometer a grid 3 current of min. -15 µA and max. +10 µA must be taken into account

Pour le calcul du potentiomètre de la grille 3 il faut tenir compte d'un courant de la grille 3 de -15 µA au minimum et de +10 µA au maximum

Zur Berechnung des Spannungsteilers von Gitter 3 muss einem Strom von min.-15 µA und max. +10 µA Rechnung getragen werden

5) Min.28.5 mm at both sides from the tube face centre
28,5 mm au minimum des deux côtés du centre de l'écran du tube
Min.28,5 mm an beiden Seiten vom Schirmmittelpunkt

6) Min. 34 mm at both sides from the tube face centre
34 mm au minimum des deux côtés du centre de l'écran du tube
Min.34 mm an beiden Seiten vom Schirmmittelpunkt

7) The sensitivity of the deflection plates for a deflection < 75% of the useful scan will not differ from the sensitivity for a deflection of 25% of the useful scan by more than ± 2%

La sensibilité des plaques de déviation pour une déviation < 75% de la gamme d'exploration utile ne différera pas de la sensibilité pour une déviation de 25% de la gamme d'exploration utile de plus de ± 2%

Die Empfindlichkeit der Ablenkplatten für eine Ablenkung < 75% des nützlichen Abtastungsbereich wird von der Empfindlichkeit für eine Ablenkung von 25% des nützlichen Abtastungsbereichs nicht mehr abweichen als ± 2%

[8]) The length of the edges of a raster pattern, whose mean dimensions are < 75% of the useful scan will not deviate from this mean dimensions by more than 2.5 %

La longueur des côtés d'une mire de réseau, dont les dimensions moyennes sont < 75% de la gamme d'exploration utile, ne s'écartera pas de ces dimensions moyennes de plus de 2,5%

Die Länge der Seiten eines Rasterbildes, dessen mittlere Abmessungen < 75% des nützlichen Abtastungsbereichs werden von diesen mittleren Abmessungen nicht mehr als 2,5% abweichen

[9]) With the tube shielded the spot will be within a circle of 4 mm diameter, the circle being centered with respect to the tube face

Si le tube est blindé, le spot sera dans un cercle d'un diamètre de 4 mm , le cercle étant centré par rapport à l'écran du tube

Wenn die Röhre abgeschirmt ist, wird der Leuchtpunkt sich innerhalb eines Kreises von 4 mm befinden.Der Kreis ist hierbei zentriert im Bezug auf den Röhrenschirm

[8]) The length of the edges of a raster pattern, whose mean dimensions are < 75% of the useful scan will not deviate from this mean dimensions by more than 2.5 %

La longueur des côtés d'une mire de réseau, dont les dimensions moyennes sont < 75% de la gamme d'exploration utile, ne s'écartera pas de ces dimensions moyennes de plus de 2,5%

Die Länge der Seiten eines Rasterbildes, dessen mittlere Abmessungen < 75% des nützlichen Abtastungsbereichs werden von diesen mittleren Abmessungen nicht mehr als 2,5% abweichen

[9]) With the tube shielded the spot will be within a circle of 4 mm diameter, the circle being centered with respect to the tube face

Si le tube est blindé, le spot sera dans un cercle d'un diamètre de 4 mm , le cercle étant centré par rapport à l'écran du tube

Wenn die Röhre abgeschirmt ist, wird der Leuchtpunkt sich innerhalb eines Kreises von 4 mm befinden.Der Kreis ist hierbei zentriert im Bezug auf den Röhrenschirm

[8]) The length of the edges of a raster pattern, whose mean dimensions are ‹ 75% of the useful scan will not deviate from this mean dimensions by more than 2.5%

La longueur des côtés d'une mire de réseau, dont les dimensions moyennes sont ‹ 75% de la gamme d'exploration utile, ne s'écartera pas de ces dimensions moyennes de plus de 2,5%

Die Länge der Seiten eines Rasterbildes, dessen mittlere Abmessungen ‹ 75% des nützlichen Abtastungsbereichs, werden von diesen mittleren Abmessungen nicht mehr als 2,5% abweichen

[9]) With the tube shielded the spot will be within a circle of 4 mm radius, the circle being centered with respect to the tube face

Si le tube est blindé, le spot sera dans un cercle d'un rayon de 4 mm, le cercle étant centré par rapport à l'écran du tube

Wenn die Röhre abgeschirmt ist, wird der Leuchtpunkt sich innerhalb eines Kreises mit einem Radius von 4 mm befinden. Der Kreis ist hierbei zentriert im Bezug auf den Röhrenschirm

[8]) The length of the edges of a raster pattern, whose mean dimensions are ‹ 75% of the useful scan will not deviate from this mean dimensions by more than 2.5%

La longueur des côtés d'une mire de réseau, dont les dimensions moyennes sont ‹ 75% de la gamme d'exploration utile, ne s'écartera pas de ces dimensions moyennes de plus de 2,5%

Die Länge der Seiten eines Rasterbildes, dessen mittlere Abmessungen ‹ 75% des nützlichen Abtastungsbereichs, werden von diesen mittleren Abmessungen nicht mehr als 2,5% abweichen

[9]) With the tube shielded the spot will be within a circle of 4 mm radius, the circle being centered with respect to the tube face

Si le tube est blindé, le spot sera dans un cercle d'un rayon de 4 mm, le cercle étant centré par rapport à l'écran du tube

Wenn die Röhre abgeschirmt ist, wird der Leuchtpunkt sich innerhalb eines Kreises mit einem Radius von 4 mm befinden. Der Kreis ist hierbei zentriert im Bezug auf den Röhrenschirm

PHILIPS

DG 7-36

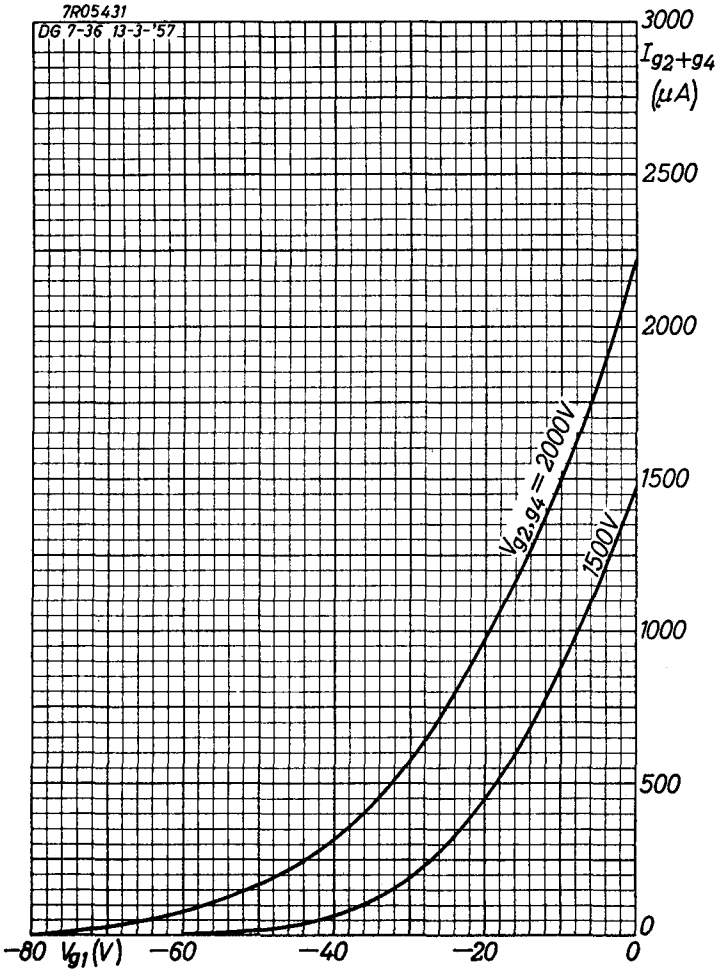

3.3.1957

A

PHILIPS

DB 7-36
DG 7-36

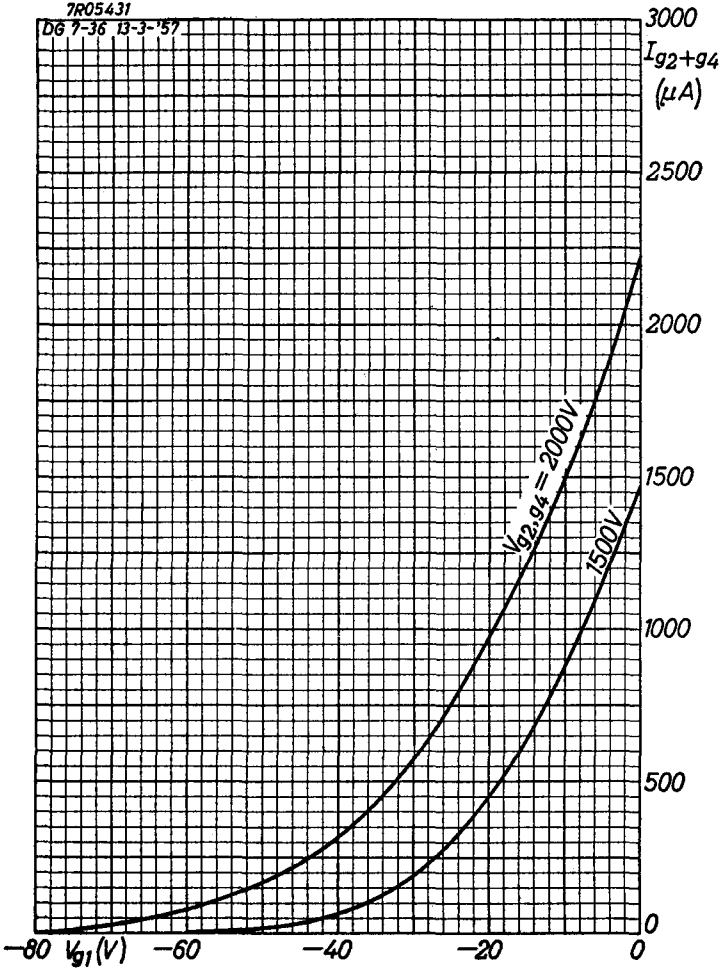

PHILIPS

DB7-36
DG7-36
DN7-36

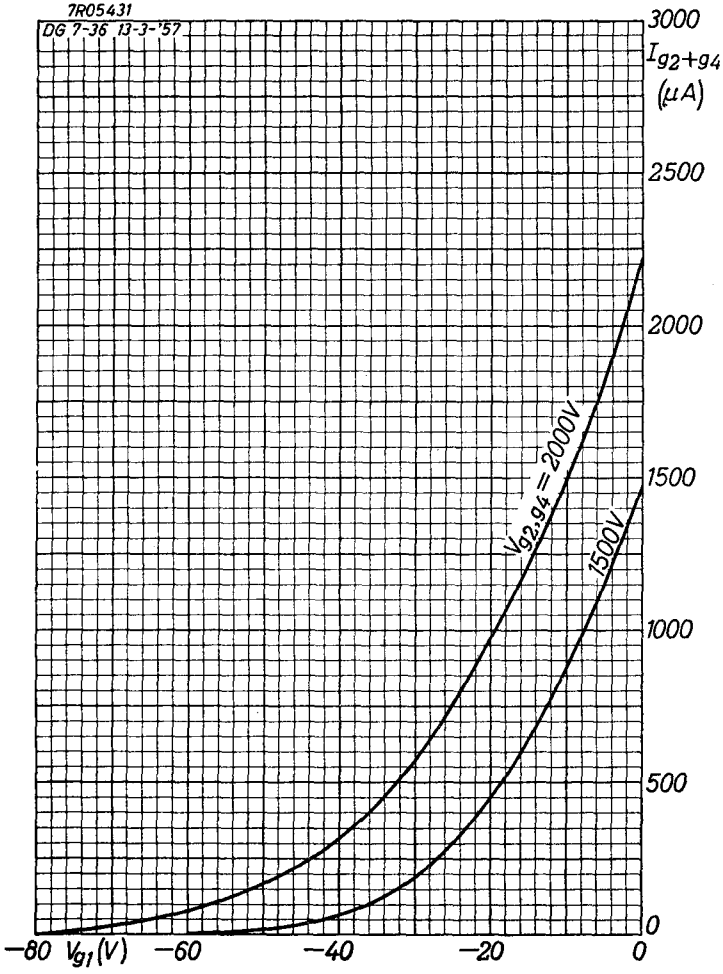

3.3.1963

A

DG 7-36 **PHILIPS**

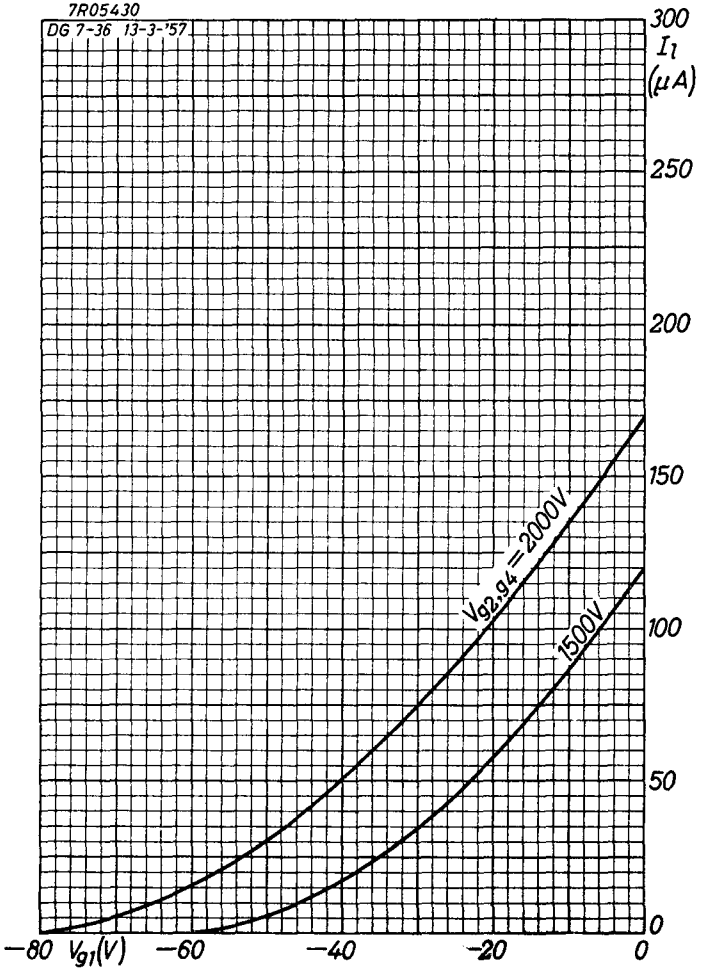

B

DB 7-36
DG 7-36

PHILIPS

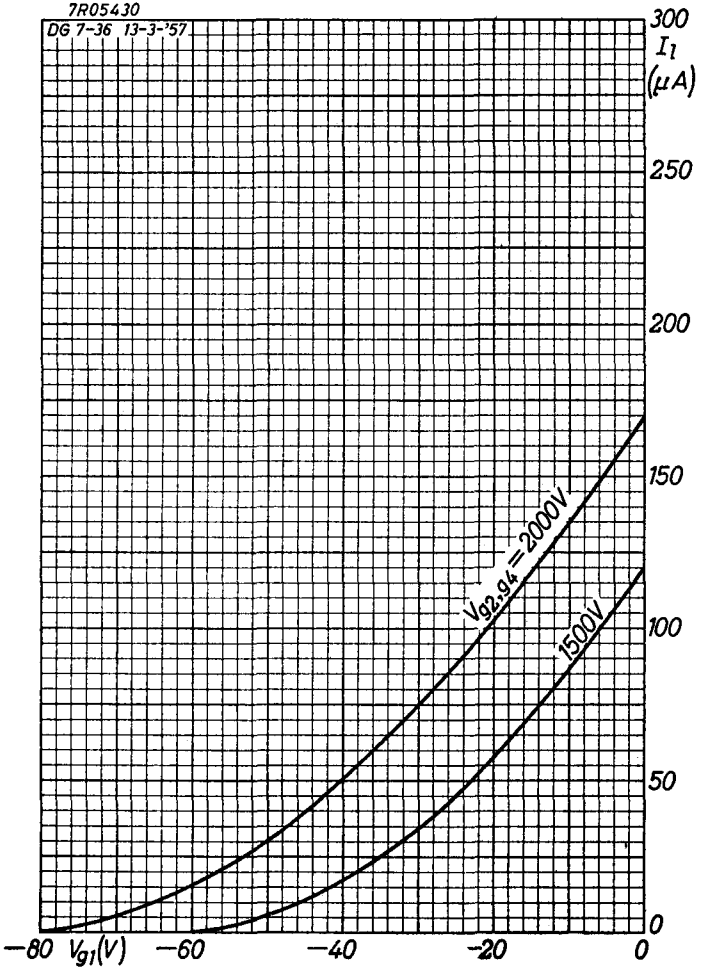

B

DB7-36
DG7-36
DN7-36

PHILIPS

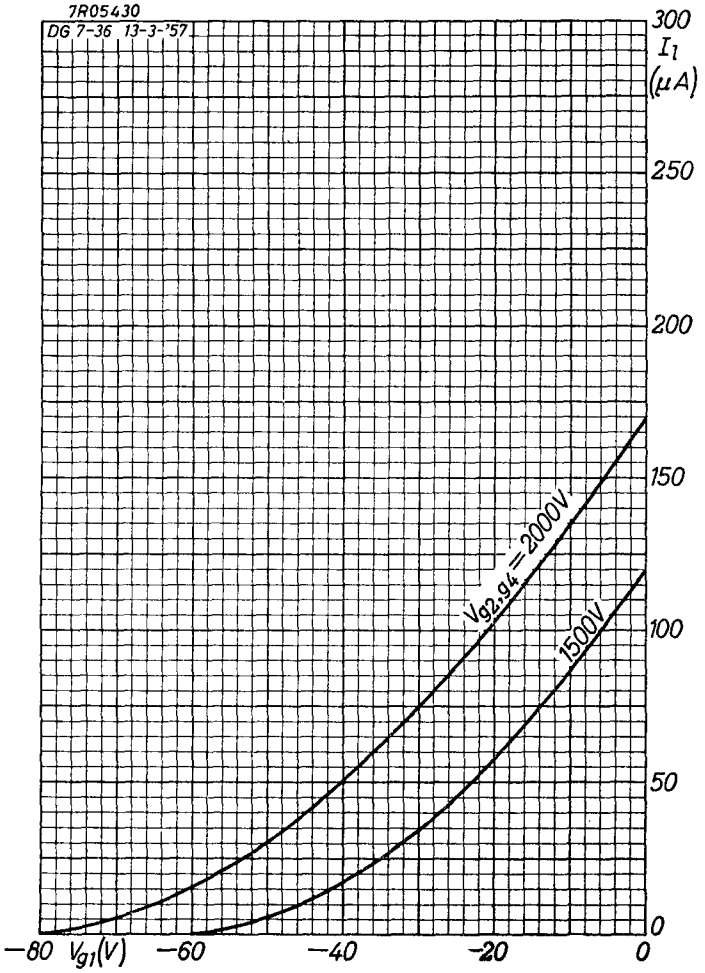

B

PHILIPS

Electronic Tube HANDBOOK

DB7-36 DG7-36 DN7-36

page	sheet	date
1	1	1955.04.04
2	1	1956.08.08
3	1	1957.07.07
4	1	1963.03.03
5	2	1955.04.04
6	2	1956.08.08
7	2	1957.07.07
8	2	1963.03.03
9	3	1955.04.04
10	3	1956.08.08
11	3	1957.07.07
12	3	1963.03.03
13	4	1955.04.04
14	4	1956.08.08
15	4	1957.07.07
16	5	1955.04.04
17	5	1956.08.08
18	5	1957.03.03
19	5	1957.07.07

20	A	1957.03.03
21	A	1957.07.07
22	A	1963.03.03
23	B	1957.03.03
24	B	1957.07.07
25	B	1963.03.03
26, 27	FP	2000.09.24